

ケーランの沈下機構に関する基礎的実験（第1報）

西鉄基礎工事 KK ○正員 安部 重彦

福岡大学 正員 吉田 信夫

福岡大学 正員 今泉 広二

1. 実験的目的

従来のケーランではケーランの外周部に発生するフリクションのため、刃口の沈下ヒヤロ先の支持力、その周辺の土の変形挙動などの関連が明らかにされていない。これまで平面基礎によるスペリ面解析¹⁾、斜面帯基礎の支持力解析などに関するスペリ面解析はなされているが、水平と鉛直の両方向に作用する刃口のような角度をもつた基礎についての解析、実験は乏しい。今回、ケーランの外周部のフリクションをカットした工法を開発したので、その理論的解明の基礎的系図として刃口が各載荷量について沈下する時の土の変形領域を追跡し、その変形領域の伝播を考慮することを目的とした。これによって今後スペリ面の実測、ケーランの支持力、掘削時の内部土砂の挙動、ケーランの沈下などの関連を解析しようとするものである。今回は実験に用いた実験装置と実験方法および各載荷段階ごとの変形性状についてとりまとめた。

2. 工法の特長

これまでのオーソンケーラン工法とは、ケーランの中の土砂を掘削することにより、ケーラン自重で沈下させる。ところが、深くなるヒヤロ自重だけではケーラン外周部のフリクションのために沈下が困難となり、したがって自重を増すか載荷することが必要となる。今回開発した工法は図-1のように周辺に特殊懸濁液（斜縫部）を自然流下させることにより、ケーラン外周部B-Cのフリクションをカットするもので、その結果ケーラン自重が刃口にはほとんど全部作用することになり、これが刃口の押込力となって刃口部内面側の土砂に作用する。よって全自重を受けた刃口部は常に地盤中に貫入し、刃口内面側の土砂を塑性流動させてケーラン内側へ送り込む状態となる。ケーランの沈下はこの塑性化された土砂を排工する事により行なわれる所以、沈下のコントロールが容易であり急激に沈下しない。さらに刃先がAのように常に土砂中に貫入しているので、従来のケーラン工法でみられる先掘りによる急激な沈下が発生せず、無騒音無振動である。また、沈下完了後ケーラン外周部はモルタル注入などの置換工法によりフリクションの復元ができる。

3. 実験方法

今回行なった実験はケーラン刃口部の土砂の変形領域とその伝播性とを観察するもので実験装置を図-2に示す。実験装置を縮尺すると僅かな粘着力が大きく影響するので実寸に近い装置を用いて行なった。装置の両面には厚さ12mmの強化ガラスを用い刃の変位が読み取れるようにした。刃口部の背後のローラーは工法に用いられているフリクション・カットの原理を実験室用に変換したものである。実験に用いた砂は筑後川産の川砂で、最大粒径4.76mm、フルイ通過、有効径2.60mm、均等係数2.77である。砂は水練りの方法を用いて、できるだけ均一になるようにした後排水して準備した。実験槽内の砂はゆき詰めの状態で含水率 $\gamma = 1.6\%$ 、内部摩擦角約33度で含水比 $w = 6\%$ である。砂を入れる際に砂の変位をトレースするために5cm間隔で標点を配置し、できるだけ砂と一緒に動くように設置した。載荷は油圧ジャッキで行ない、1kg/cm²方に10kgまで応力制御で載荷して各載荷段階ごとに標点の移動を計測した。

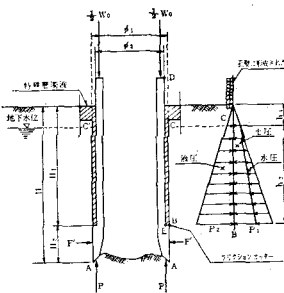


図-1 フリクション・カット工法の原理

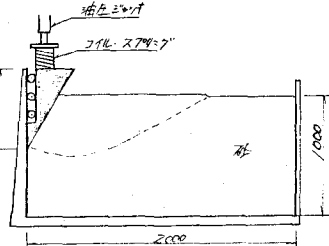


図-2 実験装置

4. 理論

裏込め土の破壊を受衝破壊と仮定し、そのすべり面が対数らせんと平面すべり面から成されたものとして、すべり面を考えると図-3のようになる。従来の剛塑体の考え方では、すべり面の始点をbとし、abc上の任意の対数らせんの極(L)の中でも最小の Q_r を与えるしがすべり面とされbcdの各点が決まる。山口、平田などの実験から推論するにbcd上のすべり面でせん断抵抗が一齊に全断面にわたってモビライズされるのではなく、bcd上でそのモビライズされる領域が各載荷重段階ごとに伝播することが考えられる。

5. 実験結果と考察

今回の実験はゆるぎめの砂にたいして、従来の方法と違つて鉛直方向の支持力と水平方向の受衝土圧とをもつ載荷試験であると考えられる。各載荷重段階ごとのなかで3, 6, 9 t/m の標点の変位量を図-4に示す。いづれも刃口部の前面に変位の最大領域を発生していて、刃口面に平行にその変位が伝播している。さらに、各荷重段階ごとに砂の表面にすべり面が観察された。(写真) この変位量の分布から、水平地盤面における載荷板の垂直載荷のときにでの変位の分布よりは、むしろ受衝土圧的な変位分布と考えられる。ただし、刃先においてかなりの鉛直方向の変位(約10mm)がみられる。ところで、前述の4の理論での仮定をとれば、刃先(b)からすべりが発生することになる。しかし、図-4(b)(c)で観察されているように刃口部前面に平行に密な砂層が形成されているので、刃口部と密な砂層部とで合成された領域を考慮してのすべり面の検討が必要であろう。ところで砂の表面でのすべり面の実測点d点をもとにしていけばc点から数多くのすべり面が仮定できる。したがつてそれらの多くの仮想すべり面の中で支持力(Q_r)を最小とするすべり面と実験で得られるすべり面との対応が必要である。支持力(Q_r)を最小とするすべり面については当日発表する。

6.まとめ

従来の水平もしくは鉛直方向のみの載荷試験とは異なつて、水平鉛直合成とみなれる載荷試験を実施した。その結果、刃口前面に最大変位領域が発生し、これが刃口面に平行に伝播していく。一方、刃先部ではかなりの鉛直変位が認められるので、刃口部と密な砂の領域を考慮したすべり面の検討が必要である。このためには各載荷重段階ごとの標点の移動をもとにして、収縮領域と膨張領域の発生と伝播、せん断ひずみを求める。これらからのすべり面の追跡し実測(Q_r)、理論(Q_r)との照合は次回に発表する。

- 参考文献
- 1) 山口柏樹、木村益：遠心載荷装置による支持力実験、第10報、第11回土質工学研究発表会 1976
 - 2) 内田一郎、平田基男：斜面帯基礎の支持力解析ににおける二つの問題、第11回土質工学研究発表会 1976
 - 3) 勝見雅：杭先の角度に注目した支持力について、土木学会第23回年次学術講演概要集 第3部
 - 4) 西鉄基礎工事部：N式オーフンケーション法（ウェルユ法）について 1977

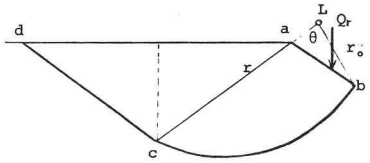
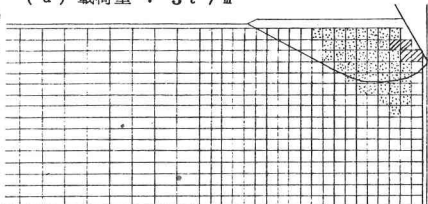
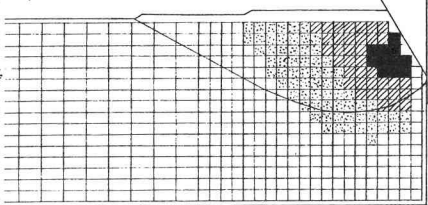


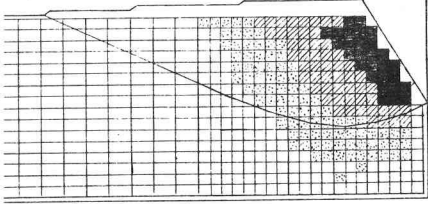
図-3 理論すべり線
(a) 載荷重 : 3 t / m



(b) 載荷重 : 6 t / m

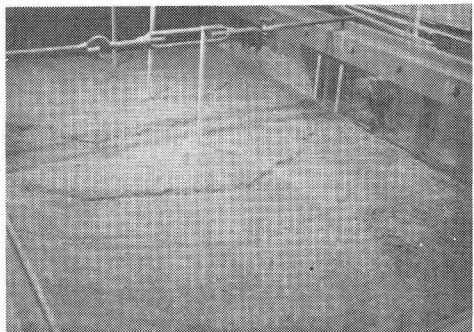


(c) 載荷重 : 9 t / m



変位量 ■ 30 mm以上 □ 20~30 mm ▨ 10~20 mm

図-4 変位量図



(写真) 砂層表面のすべり面